

# Медиальные графы трёхмерных многогранников

Н.Ю. Ероховец

## 1 Введение

Мы рассмотрим понятие медиального графа плоского графа  $G$  и его применения в разных областях математики (теории многогранников, проблеме четырёх красок, гиперболической геометрии, теории узлов), а также в статистической физике.

Пусть  $\Gamma \subset \mathbb{R}^2$  – плоский граф. Его *медиальным* графом  $M(\Gamma)$  называется граф, вершины которого взаимно однозначно соответствуют рёбрам графа  $\Gamma$ , а рёбра возникают при обходе каждой грани графа  $G$  вдоль её граничного цикла. Каждая вершина медиального графа имеет валентность 4. Медиальный граф можно нарисовать на плоскости, взяв в качестве вершин середины рёбер графа  $\Gamma$  и соединив середины последовательных рёбер каждой грани простой кривой.

Вообще говоря, медиальный граф зависит от плоской реализации графа, однако для кубического (то есть 3-валентного) графа  $\Gamma$  он совпадает с *рёберным графом* графа  $G$ , вершинами которого являются рёбра графа  $G$ , а рёбра соответствуют парам рёбер графа  $G$ , имеющим общую вершину.

## 2 Медиальный граф и проблема 4-красок

### 2.1 4-цветные раскраски граней многогранника и 3-цветные раскраски вершин медиального графа

Известен следующий результат, см. [O67, Theorem 9.4.3].

**Теорема 2.1.** *Грань 3-валентного планарного графа можно раскрасить в 4 цвета так, чтобы смежные грани имели разные цвета тогда и только тогда, когда вершины его медиального графа можно раскрасить в 3 цвета так, что смежные вершины имеют разный цвет.*

Идея доказательства: пусть дана 4-цветная раскраска граней планарного 3-валентного графа. Тогда разобъём рёбра на три класса: если смежные грани имеют цвета: (1) (1 и 2) или (3 и 4); (2) (1 и 3) или (2 и 4); (3) (1 и 4) или (2 и 3). Эти три класса отвечают трём цветам вершин медиального графа. В каждой вершине исходного графа сходятся рёбра из трёх разных классов. Наоборот, если есть 3-цветная раскраска рёбер, такая что

в каждой вершине сходятся рёбра разных цветов, то раскрасим одну грань многогранника  $P$  в цвет 1, а дальше будем раскрашивать соседние грани переходя через рёбра и сопоставив цветам рёбер классы, описанные выше. Можно показать, что раскраска грани не будет зависеть от пути через рёбра и определена корректно.

## 2.2 Вероятностная интерпретация теоремы о 4 красках

В работе [M03] был получен следующий результат, связывающий проблему 4 красок с теорией вероятностей. Пусть  $P$  – простой многогранник, а  $M(P)$  – его медиальный граф. Определим вероятностное пространство, состоящее из всевозможных ориентаций графа  $M(P)$ . Каждая ориентация имеет одинаковую вероятность. Рассмотрим два события: (A) Две случайные ориентации имеют одинаковую чётность, то есть одна ориентация получается из другой изменением ориентации чётного количества рёбер. (B) Две случайные ориентации сравнимы по модулю 3, то есть для каждой вершины числа выходящих из неё ребер сравнимы по модулю 3.

**Теорема 2.2.** *Верна формула*

$$P(B|A) - P(B) = \left( \frac{27}{4096} \right)^{m-2} \frac{\chi(P)}{4},$$

где  $m$  – число гиперграней многогранника  $P$ , а  $\chi(P)$  – количество его раскрасок в 4 цвета.

**Следствие 2.1.** *Теорема 4 красок эквивалентна утверждению о том, что для любого простого многогранника  $P$  события (A) и (B) не являются независимыми.*

## 3 Медиальный граф в теореме Штейница

Медиальный граф используется при доказательстве достаточности условий теоремы Штейница в книге [G03].

**Теорема 3.1** (Теорема Штейница). *Граф  $\Gamma$  комбинаторно эквивалентен графу выпуклого трёхмерного многогранника тогда и только тогда, когда он является простым (без кратных рёбер и петель), планарным (допускает реализацию на плоскости) и 3-связным (связный граф хотя бы с 4 рёбрами, удаление любых одной или двух вершин которого оставляет его связным).*

Условие 3-связности можно переформулировать ещё двумя эквивалентными способами.

**Теорема 3.2.** *Граф хотя бы с 4 вершинами является 3-связным тогда и только тогда, когда между любыми двумя его вершинами существует хотя бы три пути, пересекающиеся только по этим вершинам.*

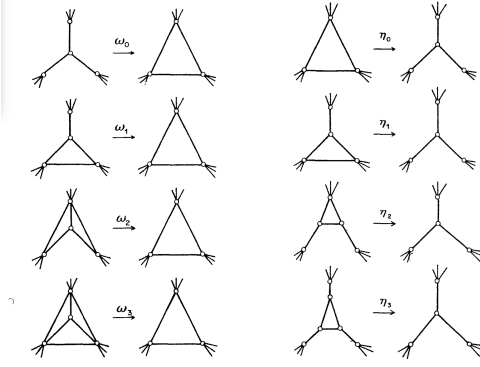


Рис. 1: Редукции

**Теорема 3.3** (Другая версия теоремы Штейница). *Разбиение сферы на грани, задаваемое сферическим графом  $\Gamma$  более чем с одной вершиной, комбинаторно эквивалентно границце выпуклого трёхмерного многогранника тогда и только тогда, когда каждая грань ограничена простым циклом, и если два граничных цикла различных граней пересекаются, то это пересечение состоит из вершины или ребра.*

Для доказательства достаточности условий теоремы Штейница показывается, что всякий простой планарный 3-связный граф  $\Gamma$  может быть сведён к графу тетраэдра (полный граф  $K_4$ ) последовательностью редукций (Рис. 1). При этом обратная операция к каждой редукции реализуется геометрической операцией, переводящей многогранник в многогранник.

Для  $\Gamma \neq K_4$  показывается, что существует последовательность редукций вида  $\omega_0$  или  $\eta_0$  (они не меняют число рёбер), переводящая  $\Gamma$  в простой планарный 3-связный граф  $\Gamma'$ , у которого найдётся 3-угольная грань с вершиной валентности 3. К нему применима одна из операций  $\omega_i$  или  $\eta_j$ ,  $i, j > 0$ , уменьшающая число рёбер. Для этого вводится понятие *линзового подграфа* (коротко *линзы*) медиального графа  $M(\Gamma)$ . Он состоит из всех вершин и рёбер, лежащих внутри или на границе одной из двух компонент связности дополнения до простого цикла, состоящего из двух путей, таких что в каждой промежуточной вершине пути он проходит через два ребра, противолежащих друг другу в 4-валентной вершине графа  $M(\Gamma)$ , а конечные рёбра двух путей не являются противолежащими друг другу в их общей 4-валентной вершине, см. Рис. 2. Мы будем называть гранями линзы грани графа  $M(\Gamma)$ , лежащие в замыкании соответствующей компоненты связности.

Граф  $M(\Gamma)$  всегда содержит *неприводимый* линзовый подграф, то есть подграф, не содержащий других линзовых подграфов.

Если неприводимая линза состоит из двух граней (см. Рис. 2 b), то эти две грани отвечают треугольной грани графа  $\Gamma$ , имеющей 3-валентную вершину. Если неприводимая линза имеет больше двух граней, то можно показать, что в ней найдётся треугольная грань, выходящая хотя бы одним ребром на границу линзы. Тогда редукцией

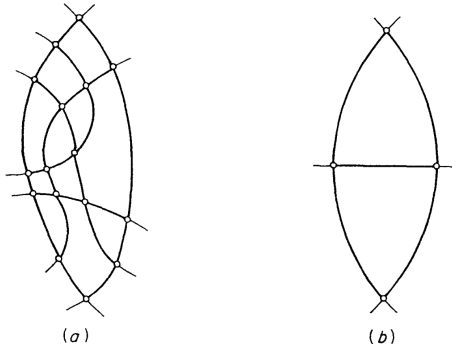


Рис. 2: Линзовый подграф

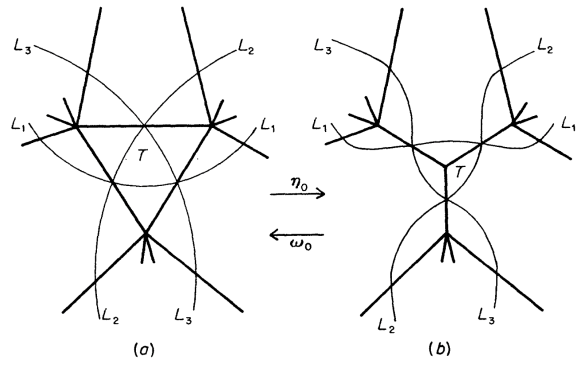


Рис. 3: Редукция

$\omega_0$  или  $\eta_0$  можно перевести граф  $\Gamma$  в новый граф, у которого неприводимая линза имеет меньше граней.

## 4 Медиальный график и идеальные прямоугольные гиперболические многогранники

Мы будем рассматривать пространство Лобачевского  $\mathbb{L}^3$  в модели Кэли-Клейна (проективной модели). В этой модели пространство Лобачевского состоит из внутренних точек единичного шара. Прямыми и плоскостями являются пересечения обычных прямых и плоскостей с шаром. Граница шара состоит из так называемых бесконечно удалённых точек и называется *абсолютом*. Плоскость  $\pi_1$  в этой модели *перпендикулярна* плоскости  $\pi_2$  тогда и только тогда, когда либо  $\pi_1$  содержит центр шара, а  $\pi_2$  перпендикулярна ей в  $\mathbb{R}^3$  в обычном смысле, либо  $\pi_1$  не содержит центра шара, а  $\pi_2$  проходит через вершину конуса, который касается границы шара по окружности, по которой её пересекает  $\pi_1$ .

(упражнение: проверить, что если  $\pi_1$  перпендикулярна  $\pi_2$ , то  $\pi_2$  перпендикулярна  $\pi_1$ . Это связано с тем, что вершина конуса *полярна* плоскости  $\pi_1$  относительно сферы).

Многогранник  $P$  в пространстве Лобачевского является пересечением обычного многогранника с шаром. Этот многогранник имеет конечный объём в  $\mathbb{L}^3$  тогда и только тогда, когда многогранник целиком лежит в замкнутом шаре. При этом некоторые его вершины могут лежать на абсолюте, то есть быть бесконечно удалёнными (или *идеальными*). Многогранник ограничен в  $\mathbb{L}^3$  тогда и только тогда, когда все вершины являются внутренними точками пространства Лобачевского.

Многогранник в  $\mathbb{L}^3$  называется *идеальным*, если все его вершины лежат на абсолюте.

Из результатов Е.М. Андреева [A70a, A70b] о многогранниках конечного объёма вытекает следующий факт, который, видимо, впервые был замечен У.П. Тёрстоном (см. [T77]).

**Теорема 4.1.** *Граф  $G$  является медиальным графом некоторого трёхмерного многогранника  $P$  тогда и только тогда, когда он является графом идеального прямоугольного многогранника в  $\mathbb{L}^3$ . Более того, комбинаторный тип многогранника  $P$  определён однозначно с точностью до перехода к двойственному многограннику  $P^*$  (его вершины отвечают граням многогранника  $P$ , грани – вершинами, а рёбра этих многогранников взаимно однозначно соответствуют друг другу).*

Этот факт играет ключевую роль в доказательстве теоремы Кёбе-Андреева-Тёрстона (см. [Z14]):

**Теорема 4.2.** *Любой комбинаторный трёхмерный многогранник  $P$  можно так реализовать в  $\mathbb{R}^3$ , что все его рёбра касаются единичной сферы. Более того, если потребовать, чтобы центр тяжести точек касания совпадал с центром сферы, то такая реализация единственна, с точностью до изометрии пространства. Кроме того, для такой реализации одновременно имеется реализация двойственного многогранника, двойственные рёбра которого касаются сферы в тех же точках и пересекаются с рёбрами исходного многогранника под прямым углом.*

Назовём многогранник, граф которого совпадает с медиальным графом многогранника  $P$  медиальным многогранником (он существует по теореме Штейница). Грани медиального многогранника имеют два типа: они отвечают либо гранями многогранника  $P$ , либо его вершинам.

Реализация многогранников  $P$  и  $P^*$  так, чтобы рёбра касались сферы, получается, если реализовать медиальный многогранник в виде идеального прямоугольного многогранника в модели Кэли-Клейна и рассмотреть плоскости, отвечающие граням медиального многогранника только одного типа.

## 5 Медиальный граф в теории узлов

В работах Тэйта [T1876a, T1876b] медиальный граф возникает в следующем контексте. Диаграмма узла или зацепления называется *альтернированной*, если в ней проходы

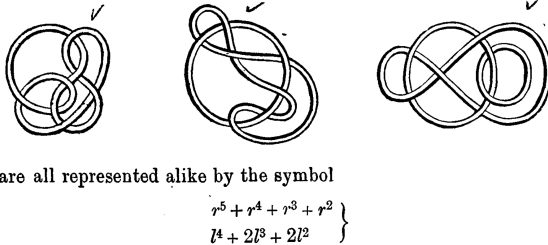


Рис. 4: Зацепления с одинаковым символом Листинга

чередуются с переходами. Каждой такой диаграмме соответствует 4-валентный граф, если все перекрёстки заменить на 4-валентные вершины. Границ этого графа могут быть раскрашены в два цвета: чёрный и белый, так что грани, смежные по ребру, имеют разный цвет. При этом на диаграмме во всех вершинах чёрной грани правое ребро идёт над левым (обозначим этот тип  $r$ ), а во всех вершинах белой – левое на правом (тип  $l$ ). Символ Листинга диаграммы задаётся как

$$\left\{ \begin{array}{l} \sum p_k r^k; \\ \sum q_k l^k, \end{array} \right.$$

где  $p_k$  – число  $k$ -угольников типа  $r$ , а  $q_k$  – число  $k$ -угольников типа  $l$ . Пример приведён на рис. 4.

Тэйт обобщает символ Листинга следующим образом: альтернированной диаграмме узла сопоставляется граф, вершинами которого являются многоугольники только одного цвета, а рёбра соответствуют общие вершины двух многоугольников. Тогда диаграмма чёрных многоугольников однозначно определяет диаграмму белых многоугольников, при этом 4-валентный граф узла является медиальным граffом любой из этих диаграмм (см. рис. 5).

**Вопрос 1.** Охарактеризовать класс зацеплений, у которых 4-валентный граф диаграммы является медиальным граffом 3-мерного многогранника.

Из результатов У. Менаско [M84] можно вывести, что каждое такое зацепление является гиперболическим, то есть на его дополнении в  $S^3$  можно ввести структуру гиперболического многообразия конечного объёма.

## 6 Медиальный граff в статистической механике

### 6.1 Модель Потса

Модель Потса (см. [B85]) на простом граffе  $\Gamma$  в статистической механике задаётся следующим образом. Пусть простой граff  $\Gamma$  имеет  $N$  вершин. Каждой его вершине  $v$  сопоставляется величина  $\sigma_v$ , которая может принимать  $q$  значений:  $1, 2, \dots, q$ . Эта величина

$$\begin{array}{ccc}
 r^5 & = & r^5 \\
 || & & || \\
 & r^4 & \\
 || & & || \\
 r^5 & = & r^5
 \end{array}$$

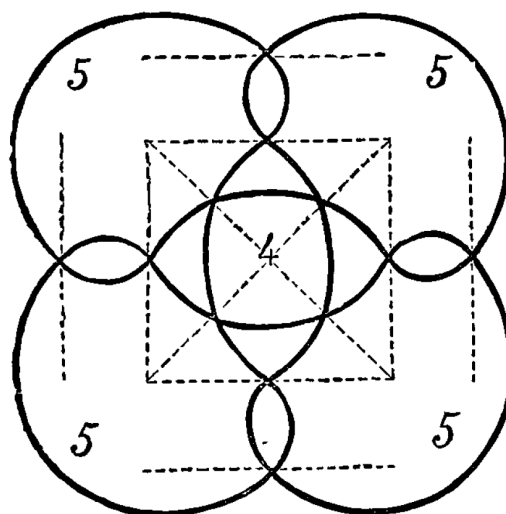


Рис. 5: Восстановление 4-валентного графа по диаграмме «правых» многоугольников.

рассматривается как «спин». Два соседних (то есть соединенных ребром) спина  $v$  и  $w$  взаимодействуют с энергией взаимодействия  $-J\delta(\sigma_v, \sigma_w)$ , где  $\delta(x, y)$  – символ Кронекера. Тогда полная энергия равна

$$-J \sum_{(v,w) \in \Gamma} \delta(\sigma_v, \sigma_w).$$

При этом статистическая сумма имеет вид

$$Z_N = \sum_{\sigma} \exp \left( K \sum_{(v,w) \in \Gamma} \delta(\sigma_v, \sigma_w) \right),$$

где  $K = \frac{J}{k_B T}$ ,  $k_B$  – константа Больцмана,  $T$  – температура. Здесь суммирование ведётся по всем значениям всех спинов. Таким образом, всего имеется  $q^N$  слагаемых.

Если положить  $v = e^K - 1$ , то

$$Z_N = \sum_{\sigma} \prod_{(v,w) \in \Gamma} (1 + v\delta(\sigma_v, \sigma_w)).$$

Можно показать, что эта сумма равна

$$Z_N = \sum_G q^{C(G)} v^{l(G)},$$

где суммирование ведётся по всем простым графикам  $G$  на том же множестве вершин, что и  $\Gamma$ , таким что каждое ребро графа  $G$  является ребром графа  $\Gamma$ .  $C(G)$  – это количество связных компонент в  $G$ , а  $l(G)$  – рёбер. Такое выражение называется *бихроматическим многочленом* графа  $G$ . Если  $K$  устремить к  $-\infty$ , то  $Z_N$  будет стремиться к величине, равной числу раскрасок вершин графа  $\Gamma$  в  $q$  цветов так, что соседние вершины имеют разные цвета. Эта величина получается подстановкой  $v = -1$  в  $Z_N$ . Она является многочленом от  $q$ , который называется «хроматическим многочленом» графа  $\Gamma$ .

Можно обобщить эту модель, разбив все рёбра графа  $\Gamma$  на  $k$  классов. В каждом классе  $r$  величины  $J$ ,  $K$  и  $v$  принимают одинаковое значение  $J_r$ ,  $K_r$  и  $v_r$ . Тогда

$$Z_N = \sum_G q^{C(G)} v_1^{l_1(G)} v_2^{l_2(G)} \dots v_k^{l_k(G)},$$

где  $l_r$  – число рёбер графа  $G$ , принадлежащих классу  $r$ .

## 6.2 Модель льда

Модель типа льда описывает кристаллы с такой конфигурацией атомов водорода, что каждый атом имеет 4 соседних атома, а между каждыми двумя соседними атомами находится ион водорода. Каждый такой ион находится ближе к одному из концов связи, на которой он размещён. Ионы должны подчиняться «правилу льда»:

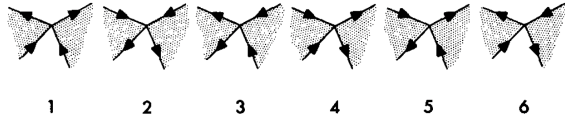


Рис. 6: Конфигурации стрелок

*Из четырёх ионов, окружающих каждый атом, два расположены близко, а два удалены вдоль линий соответствующих связей.*

В этом случае статистическая сумма равна

$$Z = \sum_c \exp\left(-\frac{\mathcal{E}(c)}{k_B T}\right),$$

где суммирование выполняется по всем конфигурациям с водородных ионов, допускаемых правилом льда, а  $\mathcal{E}(c)$  – энергия конфигурации. Связи между атомами водорода через водородные ионы образуют электрические диполи, так что их удобно представлять стрелками на линии связи, направленными к тому концу связи, который занят ионом. Тогда правило льда эквивалентно утверждению, что в каждой вершине графа  $\Gamma$ , моделирующего атомы водорода и связи между ними, имеются две стрелки, направленные к ней, и две стрелки, направленные от неё. Всего имеется 6 таких конфигураций (поэтому модели типа льда иногда называют «шестивершинными»), см. рис. 6. Каждая из этих шести локальных конфигураций может характеризоваться своей энергией. Обозначим их  $\varepsilon_1, \dots, \varepsilon_6$  соответственно. Тогда  $\mathcal{E}(c) = n_1\varepsilon_1 + \dots + n_6\varepsilon_6$ , где  $n_j$  – число вершин типа  $j$  в графе. В модели самого льда все  $\varepsilon_j = 0$ .

### 6.3 Эквивалентность

Оказывается, обобщённая модель Потса на простом планарном графе  $\Gamma$  эквивалентна некоторой модели типа Льда на подразделении  $M'(\Gamma)$  медиального графа  $M(\Gamma)$ , обобщённой таким образом, что вершины одного типа могут иметь различную энергию, а также допускаются «внешние узлы» валентности два. Эти внешние узлы отвечают двухвалентным вершинам, добавленным на некоторых рёбрах медиального графа. Такие вершины нужны для того, чтобы граф  $M'(\Gamma)$  можно было реализовать на плоскости прямолинейно, то есть так, чтобы каждое ребро было прямолинейным отрезком (согласно теореме Фари для этого достаточно, чтобы граф  $M'(\Gamma)$  стал простым). Далее мы считаем, граф  $M'(\Gamma)$  реализован на плоскости прямолинейно.

Можно показать, что

$$q^{-\frac{N}{2}} Z_N = \sum_{\text{ДО } m - \text{вершина в } M'(\Gamma)} \prod X(m)$$

где суммирование ведётся по всем допустимым ориентациям графа  $M'(\Gamma)$ : в каждую вершину должно входить столько же рёбер, сколько выходит. Определим  $z$  условием

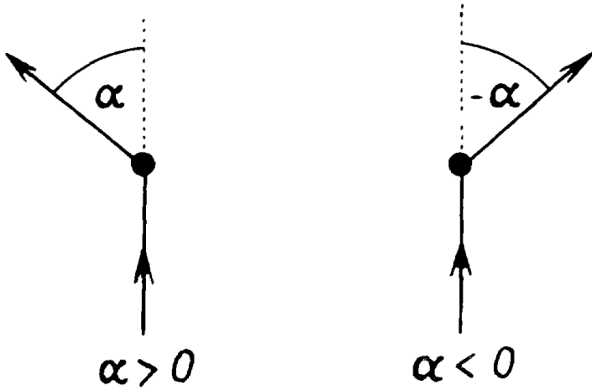


Рис. 7: Определение угла поворота при проходе через вершину

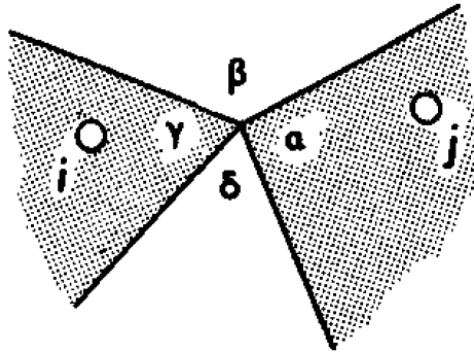


Рис. 8: Углы в вершине. Закрашены области, отвечающие вершинам исходного графа  $\Gamma$ .

$q^{\frac{1}{2}} = z^{2\pi} + z^{-2\pi}$ . Тогда в каждой 2-валентной вершине  $m$  весовой множитель  $X(m)$  равен  $z^\alpha$ , где  $\alpha$  – угол, на который поворачивается ребро графа, если проходить через вершину  $m$  по направлению стрелок, причём отсчёт ведётся против часовой стрелки (см. рис. 7). В каждой 4-валентной вершине  $X(m) = \varepsilon_k(\alpha, \beta, \gamma, \delta)$ , где вершина  $m$  имеет тип  $k$  (см. рис. 6),  $\alpha, \beta, \gamma, \delta$  – углы в этой вершине, и

$$\varepsilon_1 = z^{\alpha-\gamma}, \varepsilon_2 = z^{\gamma-\alpha}, \varepsilon_3 = x_r z^{\beta-\delta}, \varepsilon_4 = x_r z^{\delta-\beta}, \varepsilon_5 = z^{-\beta-\delta} + x_r z^{\alpha+\gamma}, \varepsilon_6 = z^{\beta+\delta} + x_r z^{-\alpha-\gamma}.$$

Здесь  $x_r = q^{-\frac{1}{2}} v_r$ , а углы в вершине определяются как показано на рис. 8. Легко видеть, что при повороте плоскости на  $\pi$  вокруг вершины типы расположений стрелок 1 и 2 меняются местами, также как 3 и 4, а типы 5 и 6 переходят себя. При этом соответствующие углы меняются местами, а выражение  $\varepsilon_k$  переходит в соответствующее выражение  $\varepsilon_{k'}$ . Поэтому не важно, с какой стороны вершина графа  $\Gamma$  с номером  $i$ , а с какой – с номером  $j$ .

**Вопрос 2.** Охарактеризовать класс систем Потса, отвечающих выпуклым трёхмерным многогранникам.

## Список литературы

- [A70a] Е.М. Андреев. *О выпуклых многогранниках в пространствах Лобачевского*. Матем. сб., 81(123):3 (1970), 445–478
- [A70b] Е.М. Андреев. *О выпуклых многогранниках конечного объема в пространстве Лобачевского*. Матем. сб., 83(125):2(10) (1970), 256–260.
- [B85] Р. Бэкстер. *Точно решаемые модели в статистической механике*. М., Мир, 1985.
- [M03] Ю.В. Матиясевич. *Один вероятностный эквивалент гипотезы четырех красок*. Теория вероятн. и ее примен., 2003, том 48, выпуск 2, 411–416.
- [G03] Branko Grünbaum. *Convex polytopes* (2nd Edition). Graduate texts in Mathematics, **221**, Springer-Verlag, New York, 2003.
- [M84] W. Menasco. *Closed incompressible surfaces in alternating knot and link complements*. Topology, Vol. 23. No. 1. pp. 37–44, 1984.
- [O67] O. Ore. *The Four-Colour Problem*. Academic Press, New York, 1967.
- [T1876a] P.G. Tait. *On links*. Proceedings of the Royal Society of Edinburg, Session 1876-77.
- [T1876b] P.G. Tait. *On knots*. Transactions of the Royal Society of Edinburg, Vol XXVIII Part I (1876-1877), plates XV and XVI.
- [T77] William P. Thurston. *Geometry and Topology of 3-Manifolds*. Lecture Notes, Princeton University, Princeton 1977–1978.
- [Z14] Г. Циглер. *Теория многогранников*. МЦНМО. 2014.